

Digitale Medien 2

Entropie: (Minimale Anzahl Bits, mit der eine Quelle codiert werden kann.)

$$H(x) = - \sum_{i=1}^m P(x_i) \cdot \log_2 \left(\frac{1}{P(x_i)} \right)$$

H = Entropie [bit/symbol]
 P = Wahrscheinlichkeit
 x_i = das x -ite symbol

Mittlere Codewortlänge:

$$L = \sum_{i=1}^m P(x_i) \cdot n_i$$

L = Durchschnittliche Codewortlänge in Bit
 $P(x_i)$ = Wahrscheinlichkeit für Codewort
 n_i = Anzahl Bit für Codewort mit Wahrscheinlichkeit $P(x_i)$

Varianz:

Shannon-Fano

$P(x_i)$				Code
0,3	>50%=0	0		00
0,25		1		01
0,2		0		10
0,12	<50%=1		0	110
0,08		1	0	1110
0,05			1	1111

1) Wahrscheinlichkeiten der Größe nach ordnen
 2) Teilen der Wahrscheinlichkeiten, so dass die Summe der beiden Teile möglichst gleich ist.

Maximale Entropie:

$$H_{max} = \log_2(m)$$

H_{max} = maximal mögliche Entropie
 m = Anzahl unterschiedlicher Symbole

Redundanz:

$$R(x) = H_{max} - H(x)$$

$$R(x) = \log_2(m) - H(x)$$

$R(x)$ = Redundanz
 $H(x)$ = Entropie
 m = Anzahl unterschiedlicher Symbole

Huffman Codierung:

Der Huffman Codes ist ein prefix code der ein optimales Code erzeugt.

Logarithmen Basiswechsel:

$$\log_b r = \frac{\log_a r}{\log_a b}$$

(einige gängige Log Werte... einfügen)

Shannon-Fano

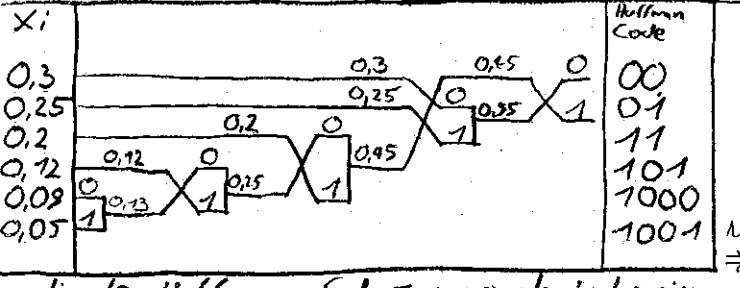
$P(x_i)$				Code
0,3	>50%=0	0		00
0,25		1		01
0,2		0		10
0,12	<50%=1		0	110
0,08		1	0	1110
0,05			1	1111

1) Wahrscheinlichkeiten der Größe nach ordnen
 2) Teilen der Wahrscheinlichkeiten, so dass die Summe der beiden Teile möglichst gleich ist.

Sin, Cos Werte

	0	$\pi/6$	$\pi/4$	$\pi/3$	$\pi/2$
sin	0	1/2	$\frac{\sqrt{2}}{2}$	$\frac{\sqrt{3}}{2}$	1
cos	1	$\frac{\sqrt{3}}{2}$	$\frac{\sqrt{2}}{2}$	1/2	0
tan	0	1/3	1	$\sqrt{3}$	>

$\sin(2x) = 2 \sin(x) \cos(x)$
 $\cos(2x) = \cos^2(x) - \sin^2(x) = 1 - 2 \sin^2(x) = 2 \cos^2(x) - 1$
 $\cos^2\left(\frac{x}{2}\right) = \frac{1 + \cos(x)}{2}$
 $\sin^2\left(\frac{x}{2}\right) = \frac{1 - \cos(x)}{2}$



Minimum Varianz Huffman's:
 \Rightarrow Wahrscheinlichkeiten immer wieder neu ordnen nach Größe, bei gleichen Wahrscheinlichkeiten die die bereits mehr Bit hat nach oben.

optimale Huffman Code = maximale Entropie

Discrete Cosine Transformation (DCT):

$$Y_{DFT}(k) = \frac{1}{N} \sum_{n=0}^{N-1} y(n) \cdot e^{-j \frac{2\pi}{N} \cdot k \cdot n} \text{ für } 0 \leq k < N$$

$$X_{DCT}(0) = \frac{1}{\sqrt{N}} \sum_{n=0}^{N-1} x(n) \cdot \cos\left(\frac{(2n+1) \cdot \pi \cdot 0}{2N}\right); \text{ für } k=0$$

$$X_{DCT}(k) = \frac{\sqrt{2}}{\sqrt{N}} \sum_{n=0}^{N-1} x(n) \cdot \cos\left(\frac{(2n+1) \cdot \pi \cdot k}{2N}\right); \text{ für } 1 \leq k < N$$

$$X_{DCT}(0) = \sqrt{N} \cdot e^{-j \frac{\pi \cdot 0}{2N}} \cdot Y_{DFT}(0); \text{ für } k=0$$

$$X_{DCT}(k) = (\sqrt{2N} \cdot e^{-j \frac{\pi \cdot k}{2N}}) \cdot Y_{DFT}(k); \text{ für } k=1, \dots, N-1$$

Logarithmen

$\log_2(1) = 0$
 $\log_2(2) = 1$
 $\log_2(3) = 1,584$
 $\log_2(4) = 2$
 $\log_2(5) = 2,321$
 $\log_2(6) = 2,584$
 $\log_2(7) = 2,807$
 $\log_2(8) = 3$
 $\log_2(9) = 3,1699$

Arithmetic Coding

Beim Arithmetic Coding werden nicht mehr einzelne Symbole codiert, sondern ganze Sequenzen.

z.B. Sequenz: acbaab

$P(a) = 1/2 \Rightarrow P(acbaab) = \frac{1}{2} \cdot \frac{1}{4} \cdot \frac{1}{4} \cdot \frac{1}{2} \cdot \frac{1}{2} = \frac{1}{32}$
 $P(b) = 1/4 \Rightarrow P(acbaab) = \frac{1}{32}$
 $P(c) = 1/4 \Rightarrow P(acbaab) = \frac{1}{32}$

$L_{min} = \text{minimal benötigte Bits zur Codierung}$
 $L_{min} = \log_2\left(\frac{1}{P(acbaab)}\right)$

z.B. Wenn die Wahrscheinlichkeit der Symbole laufend angepasst werden:

	a	c	b	a	a	b
$P(a)$	1/2	1/4	1/4	2/3	1/2	1/3
$P(b)$	1/4	1/4	1/2	1/3	1/3	2/3
$P(c)$	1/4	1/4	1/2	1/3	1/3	1/3

$L_{min} = \log_2\left(\frac{1}{P(ac...b)}\right)$

DET von Vektoren

$$x[n] = [x_1, x_2, x_3] \Rightarrow X_{DCT}(k) = \begin{bmatrix} \uparrow & \uparrow & \uparrow \\ x_1 \cdot \cos\left(\frac{(2 \cdot 0 + 1) \cdot \pi \cdot k}{2 \cdot 3}\right) & x_2 \cdot \cos\left(\frac{(2 \cdot 1 + 1) \cdot \pi \cdot k}{2 \cdot 3}\right) & x_3 \cdot \cos\left(\frac{(2 \cdot 2 + 1) \cdot \pi \cdot k}{2 \cdot 3}\right) \end{bmatrix}; \text{ für } k=0$$

$$X_{DCT}(k) = \frac{\sqrt{2}}{\sqrt{3}} \left[x_1 \cdot \cos\left(\frac{(2 \cdot 0 + 1) \cdot \pi \cdot k}{2 \cdot 3}\right) + x_2 \cdot \cos\left(\frac{(2 \cdot 1 + 1) \cdot \pi \cdot k}{2 \cdot 3}\right) + x_3 \cdot \cos\left(\frac{(2 \cdot 2 + 1) \cdot \pi \cdot k}{2 \cdot 3}\right) \right]; \text{ für } k > 0$$

N = Anzahl Werte im Vektor
 k = Laufvariable durch Ergebnisvektor
 n = Laufvariable über Summe
 bsp. 10 DCT
 $(1 \ 0)_{DCT}^T \begin{bmatrix} 1/2 & 1/2 \\ 1/2 & -1/2 \end{bmatrix}$
 $(0 \ 1)_{DCT}^T \begin{bmatrix} 1/2 & -1/2 \\ 1/2 & 1/2 \end{bmatrix}$

$L_{min} = \log_2\left(\frac{1}{P(ac...b)}\right)$
 z.B. Wenn die Wahrscheinlichkeit der Symbole laufend angepasst werden:

	a	c	b	a	a	b
$P(a)$	1/2	1/4	1/4	2/3	1/2	1/3
$P(b)$	1/4	1/4	1/2	1/3	1/3	2/3
$P(c)$	1/4	1/4	1/2	1/3	1/3	1/3

 $L_{min} = \log_2\left(\frac{1}{P(ac...b)}\right)$

DCT von Matrizen

Die DCT von Matrizen muss in zwei Vektoren DCT's zerlegt werden.

gibt gleich viele Werte \Rightarrow $\begin{bmatrix} \cdot & \cdot & \cdot \\ \cdot & \cdot & \cdot \\ \cdot & \cdot & \cdot \end{bmatrix} \Rightarrow \begin{bmatrix} \cdot & \cdot & \cdot \\ \cdot & \cdot & \cdot \\ \cdot & \cdot & \cdot \end{bmatrix}$
 \bullet = entspricht einem Samplewert
 Alle Zeilen einzeln \Rightarrow alle Spalten einzeln DCT rechnen mit den Werten der Zeilen DCT
 \Rightarrow Matrix ist nun DCT transformiert.

$\begin{bmatrix} -1 & 0 \\ 0 & 0 \end{bmatrix}_{DCT} = \begin{bmatrix} 1/2 & 1/2 \\ 1/2 & 1/2 \end{bmatrix}$
 $\begin{bmatrix} 0 & 1 \\ 0 & 0 \end{bmatrix}_{DCT} = \begin{bmatrix} 1/2 & -1/2 \\ 1/2 & -1/2 \end{bmatrix}$
 $\begin{bmatrix} 0 & 0 \\ 0 & 0 \end{bmatrix}_{DCT} = \begin{bmatrix} 1/2 & 1/2 \\ -1/2 & 1/2 \end{bmatrix}$
 $\begin{bmatrix} -1 & 0 \\ 0 & 1 \end{bmatrix}_{DCT} = \begin{bmatrix} 1/2 & 1/2 \\ -1/2 & -1/2 \end{bmatrix}$

Anfangswahrscheinlichkeiten
 $P(a) = 1/2$
 $P(b) = 1/4$
 $P(c) = 1/4$

Sequenz abc codieren!

Jeneits untr und ubar dem Bruch mit vier multiplizieren. Bei anderer Wahrscheinlichkeitsverteilung anderer Faktor.

Codieren des Schlusswerts

	a	c	b	a	a	b
$P(a)$	1/2	1/4	1/4	2/3	1/2	1/3
$P(b)$	1/4	1/4	1/2	1/3	1/3	2/3
$P(c)$	1/4	1/4	1/2	1/3	1/3	1/3

bsp: 2D DCT mit Linearitätsgesetz

$$\begin{bmatrix} 7 & 2 \\ -1 & -3 \end{bmatrix} = 7 \begin{bmatrix} 1 & 0 \\ 0 & 0 \end{bmatrix} + 2 \begin{bmatrix} 0 & 1 \\ 0 & 0 \end{bmatrix} + 1 \begin{bmatrix} 0 & 0 \\ 0 & 1 \end{bmatrix} - 7 \begin{bmatrix} 0 & 0 \\ 0 & 1 \end{bmatrix}$$

$$= 7 \begin{bmatrix} 1/2 & 1/2 \\ 1/2 & 1/2 \end{bmatrix} + 2 \begin{bmatrix} 1/2 & -1/2 \\ 1/2 & -1/2 \end{bmatrix} + 1 \begin{bmatrix} 1/2 & 1/2 \\ -1/2 & 1/2 \end{bmatrix} - 7 \begin{bmatrix} 1/2 & -1/2 \\ 1/2 & 1/2 \end{bmatrix}$$

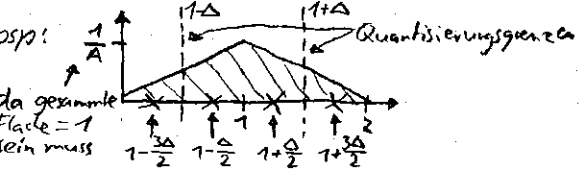
einfache adaptive algorithmen als Huffman - gleich mit Entropie a...

	a	c	b	a	a	b
$P(a)$	1/2	1/4	1/4	2/3	1/2	1/3
$P(b)$	1/4	1/4	1/2	1/3	1/3	2/3
$P(c)$	1/4	1/4	1/2	1/3	1/3	1/3

Skalare Quantisierung

$$\sigma_q^2 = \sum_{i=1}^M \int_{b_{i-1}}^{b_i} (x - y_i)^2 \cdot f_X(x) \cdot dx$$

σ_q^2 = mittlerer quadratischer Quantisierungsfehler
 M = Anzahl Quantisierungsschritte
 b_i = Quantisierungsgrenzen [---] M+1 (Entscheidungsstellen)
 y_i = Rekonstruktionspunkte [x] M Rekonstruktionswerte
 $f_X(x)$ = Verteilungsfunktion

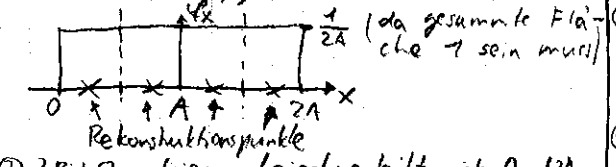


$$\sigma_q^2 = 2 \left[\int_0^{1/2} (x - 1/2)^2 \cdot x \cdot dx + \int_{1/2}^1 (x - 1/2)^2 \cdot x \cdot dx \right]$$

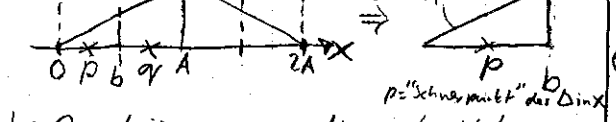
für minimales Δ (kleinste Fehler) am Schluss nach langer Rechnung, ableiten

$$\frac{d\sigma_q^2}{d\Delta} = 0 \Rightarrow \Delta \text{ mit dieser Bedingung sind optimal (kleinstes Fehler, gerundet)}$$

bsp: suchen von optimalen skalaren Quantisierern
 2 Bit Quantisierung, Gleichverteilung zwischen Quant Δ A



2 Bit Quantisierung, dreieckverteilte zwischen Quant Δ A



b = Quantisierungsgrenze die noch nicht ganz fix ist, abhängig von p und q

$$\frac{\int_{b_{i-1}}^{b_i} x \cdot f_X(x) \cdot dx}{\int_{b_{i-1}}^{b_i} f_X(x) \cdot dx} = p = \int_0^b \left(\frac{x}{A^2} \right) \cdot dx$$

$$p = \frac{\frac{3A^2}{2A^2} = \frac{3}{2} b}{\frac{3A^2 - b^2}{2A^2}} \Rightarrow b = (p+q)/2$$

$\Rightarrow b = 0,618A$; $p = 0,4170A$; $q = 0,829A$

Uniform (Gleichförmige) Quantisierung

Alle Intervalle ausser die äussersten haben die selbe Grösse
 Die Rekonstruktionswerte sind auch gleichverteilt

$\sigma_q^2 = \frac{\Delta^2}{12}$; mit $q = x - Q(x)$
 $\text{SNR}_{dB} = n \cdot 6,02 \text{ dB}$ mit n Bits

Bei nonuniform Quellen, kosten uniform Quantisierer sind mit

$\frac{d\sigma_q^2}{d\Delta} = 0$ setzen und Minimum σ_q^2 finden

Vektorquantisierung

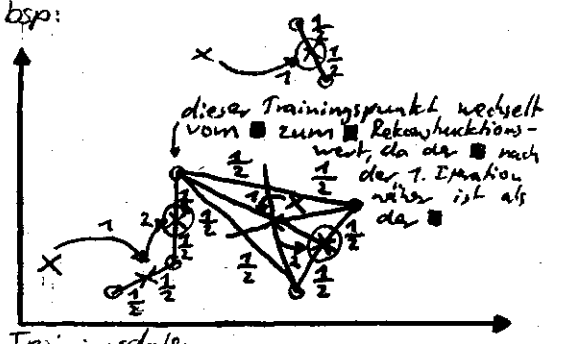
Anwendung in: CELP, G.729, Ogg Vorbis
 Vorteile: - es kann statistische Abhängigkeiten von Daten berücksichtigen
 - die Rekonstruktionswerte können auf die Messwerte angepasst werden.

Bei der Vektorquantisierung spielen die Initialwerte für die Rekonstruktionspunkte (sogenanntes Codebook) eine sehr wichtige Rolle. Je nach dem wie das Codebook gewählt wird, entstehen nach N Iterationen eines Algorithmus (bis diese konvergiert, kleinere Fehler) entstehen verschiedene Lösungen. Der Initialwert bestimmt demnach die schlussendliche Lösung.

LBG (Linde-Buzo-Cox)-Algorithmus

Der LBG-Algorithmus erzeugt ein gutes Codebook anhand von Trainingsdaten in einem iterativen Verfahren.

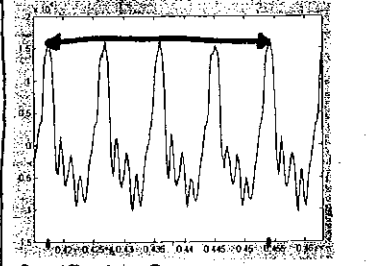
- Starten mit Initialisierungswerten $\{y_i^{(0)}\}_{i=1}^M$; $k=0$; $D^{(0)} = 0$; ϵ definieren (Konvergenzgrenzwert)
- Quantisierungsregionen finden $V_i^{(k)} = \{x: d(x, y_i) < d(x, y_j) \forall j \neq i\}$; $i=1, \dots, M$
- Rechnen der (dichte) $D^{(k)} = \sum_{i=1}^M \int_{V_i^{(k)}} \|x - y_i^{(k)}\|^2 \cdot f_X(x) \cdot dx$
- Wenn $\frac{D^{(k)} - D^{(k-1)}}{D^{(k)}} < \epsilon$ Algorithmus beenden
 beste Rekonstruktionspunkte mit gegebenem ϵ gefunden \Rightarrow Codebook gefunden... sonst Algorithmus weitermachen
- $k = k+1$, neue Rekonstruktionspunkte $\{y_i^{(k)}\}_{i=1}^M$ ermitteln, die das Zentrum von $V_i^{(k-1)}$ sind.
 Zurück zu Punkt 2



Trainingsdaten
 Rekonstruktionspunkte
 Endrekonstruktionspunkt die kleinsten Fehler als ϵ aufweisen.

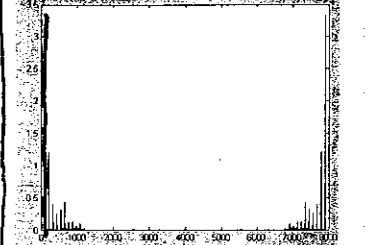
Spracheigenschaften

Voiced Speech
 Dabei schwingen die Stimmbänder. Das heisst die Person sagt einen Vokal. z.B. "a"
 bsp: Pitch Bestimmung (Abtastet & Plot der Aufzeichnung:

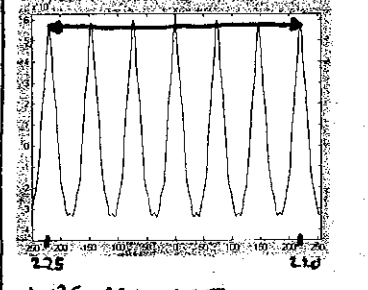


$0,452 - 0,415 = 0,037$
 $4T = 37 \text{ ms} \Rightarrow T = 9,25 \text{ ms}$
 $\Rightarrow \text{Pitch} = 1/T = 108 \text{ Hz}$

Absolutwert der FFT der Aufzeichnung



Stärkste Spektrallinie ist Pitch $\Rightarrow 108 \text{ Hz}$
 Autokorrelation der Aufzeichnung

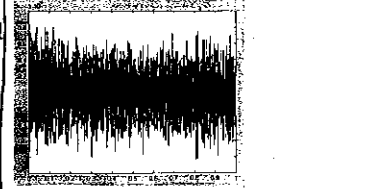


$\Rightarrow 225 + 220 = 445$
 $\Rightarrow 6T = \frac{445}{8000} = 0,0556$
 $\Rightarrow \text{Pitch} = 1/T = 108 \text{ Hz}$

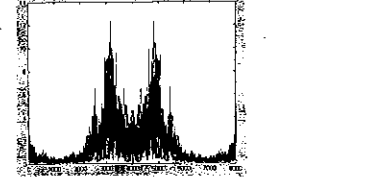
Für andere Vokale verändert sich die Pitchfrequenz.

Unvoiced Speech

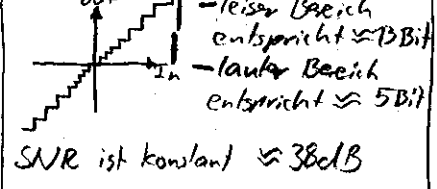
Dabei schwingen die Stimmbänder nicht. Das heisst die Person sagt einen Konsonant. z.B. "sch"
 Plot der Aufzeichnung



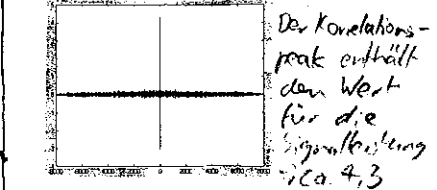
Absolutwert der FFT der Aufzeichnung



G.711



Autokorrelation der Aufzeichnung:

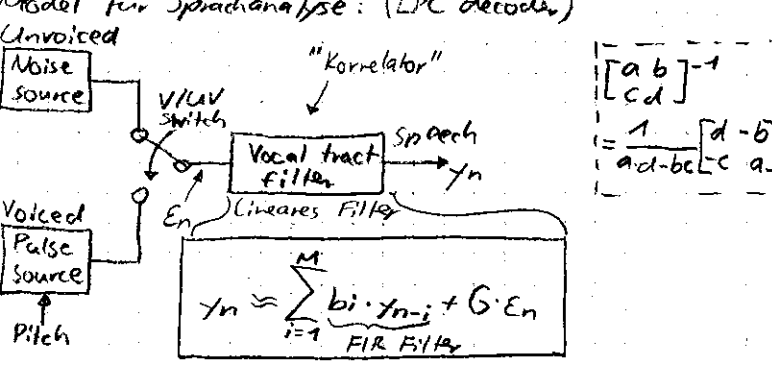


Der Korrelationspeak enthält den Wert für die Signalleistung $\approx 4,3$

LPC (Linear Predictive Coding)

Ein LPC Voice Coder analysiert den Pitch und die Leistung eines Sprachsignals und unterscheidet dabei zwischen Voiced und Unvoiced Speech eines Sample Blockes.
 z.B. LPC-10: $f_0 = 8\text{kHz}$; Analysekarte a 180 samples $\Rightarrow 22,5\text{ms}$ Sprache

Ein LPC versucht mit Hilfe eines linearen Filters, dem Pitch und der Unterscheidung zwischen Voiced und Unvoiced das Sprachsignal in Parameter zu zerlegen, die verschickt werden können.



$G =$ Filterverstärkung
 Parameter die gesendet werden:
 - Pitch (in LPC-10 zwischen 2,5 und 19,5ms)
 - Unvoiced / Voiced Entscheidung
 - Filterkoeffizienten des Vocal tract Filter, die den kleinsten Fehler ergeben

Unterscheiden zwischen Voiced und Unvoiced:
 - die Leistung eines Voiced Signals ist deutlich grösser als eines Unvoiced
 in LPC-10 wird AMDF (average magnitude difference function) verwendet
 Ermitteln der Vocal tract Filterkoeffizienten:
 die Koeffizienten werden so bestimmt das sich der kleinste mittlere quadratische Fehler einstellt.

$$\begin{bmatrix} R_{yy}(0) & R_{yy}(1) & R_{yy}(2) & \dots & R_{yy}(M-1) \\ R_{yy}(1) & R_{yy}(0) & R_{yy}(1) & \dots & R_{yy}(M-2) \\ R_{yy}(2) & R_{yy}(1) & R_{yy}(0) & \dots & R_{yy}(M-3) \\ \vdots & \vdots & \vdots & \ddots & \vdots \\ R_{yy}(M-1) & R_{yy}(M-2) & R_{yy}(M-3) & \dots & R_{yy}(0) \end{bmatrix} \cdot \begin{bmatrix} a_1 \\ a_2 \\ a_3 \\ \vdots \\ a_M \end{bmatrix} = \begin{bmatrix} R_{yy}(1) \\ R_{yy}(2) \\ R_{yy}(3) \\ \vdots \\ R_{yy}(M) \end{bmatrix}$$

$a_{1-M} =$ Filterkoeffizienten

Prediction in DPCM

varianz: $\sigma_d^2 = E[(x_n - \hat{x}_n)^2]$
 $\hat{x}_n = E[x_n - \sum_{i=1}^N a_i x_{n-i}]$
 MSE

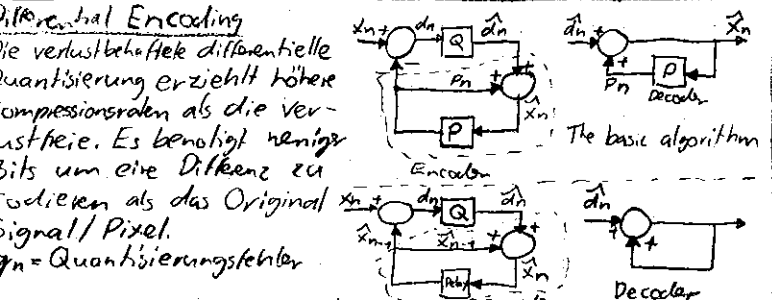
$\frac{\partial \sigma_d^2}{\partial a_1} = 0$; $\frac{\partial \sigma_d^2}{\partial a_2} = 0$ usw $\rightarrow R \cdot A = P \Rightarrow A = R^{-1} \cdot P$

$R = \begin{bmatrix} R_{xx}(0) & R_{xx}(1) & \dots & R_{xx}(N-1) \\ R_{xx}(1) & R_{xx}(0) & \dots & R_{xx}(N-2) \\ R_{xx}(2) & R_{xx}(1) & \dots & R_{xx}(N-3) \\ \vdots & \vdots & \ddots & \vdots \\ R_{xx}(N-1) & R_{xx}(N-2) & \dots & R_{xx}(0) \end{bmatrix}$

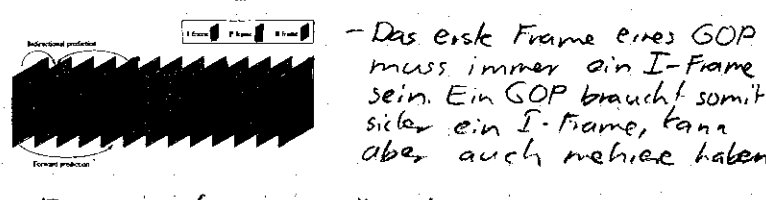
$a_1 \dots a_N =$ Prädiktor Koeffizienten
 $N =$ Prädiktor Ordnung

$SNR_{DAB} = \frac{\sum_{i=1}^M x_i^2}{\sum_{i=1}^M (x_i - \hat{x}_i)^2}$

DPCM-APP \rightarrow Forward DPCM (adaptive)
 LS-Algorithmus
 DPCM-APB \rightarrow Backward adaptive \rightarrow LMS

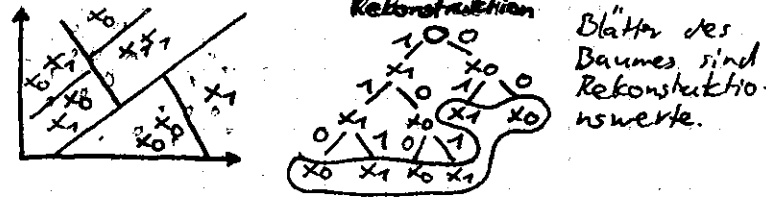


Video Compression MPEG-1



- Das erste Frame eines GOP muss immer ein I-Frame sein. Ein GOP braucht somit sicher ein I-Frame, kann aber auch mehrere haben.
- Ein Videostream wird üblicherweise in einem Groups of Pictures (GOP) zusammengefasst.
- Ein GOP besteht aus I, P und B-Frames welche unterschiedliche Eigenschaften haben.
- Das P- und I-Frame werden auch als anchor Frame bezeichnet.
- Die Kompression der Frames: höchste Komp. B-Frame, mittlere Komp. P-Frame, kleinste Komp. I-Frame
- Das P-Frame benutzt zur Komprimierung motion-compensated prediction vom letzten I oder P-Frame, je nach dem welches näher ist.
- Die B-Frames können nur gerastert werden wenn vergangene und zukünftige anchor Frames vorhanden sind. B-Frames weisen damit eine hohe Kompression mit motion-compensated prediction der zukünftigen und vergangenen anchor Frames auf. Die B-Frames werden nicht zur prediction von anderen Frames verwendet. Dadurch dürfte sie eine grössere Fehler tolleranz aufweisen, da der Fehler durch prediction nicht vorgeplant wird.

Tree-Structured Vector Quantization



- Rechenaufwand kleiner, als LBG, selten aber besser
- Tests minimieren ($\log_2(k)$) Vergleiche
- Speicher aufwand ist gross
- Jedes Bit mehr ist etwas wert
- skalierbares System
- bsp: Webbild; erst verschwommen & immer stärker
- Basis für JPEG-2000

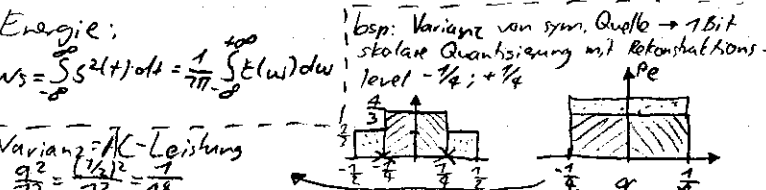
Mittelwert, Effektivwert, Varianz

lin. Mittelwert / erstes Moment (DC):
 $\mu_s = \overline{s(t)} = \lim_{T \rightarrow \infty} \frac{1}{T} \int_{-T/2}^{T/2} s(t) dt$; $\mu_1 = E(x) = \int_{-\infty}^{+\infty} f_x(x) \cdot x \cdot dx$

quadratischer Mittelwert / zweites Moment (Leistung):
 $\mu_s^2 = \overline{s^2(t)} = \lim_{T \rightarrow \infty} \frac{1}{T} \int_{-T/2}^{T/2} s^2(t) dt$; $\mu_2 = E(x^2) = \int_{-\infty}^{+\infty} x^2 \cdot f_x(x) \cdot dx$

Effektivwert:
 $\sigma_{eff} = \sqrt{\mu_s^2}$

Varianz (AC-Leistung):
 $\sigma_s^2 = \overline{(s(t) - \mu_s)^2} = \lim_{T \rightarrow \infty} \frac{1}{T} \int_{-T/2}^{T/2} (s(t) - \mu_s)^2 dt = \text{var}(x) = E(x^2) - E(x)^2$
 $= E((x - \mu_1)^2) = \int_{-\infty}^{+\infty} (x - \mu_1)^2 \cdot f_x(x) \cdot dx$



JPEG (Joint Photographic Experts Group)

Encoder:

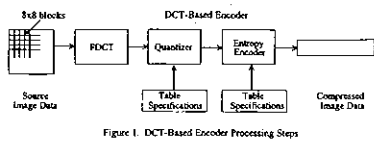


Figure 1. DCT-Based Encoder Processing Steps

Decoder:

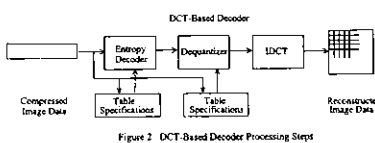


Figure 2. DCT-Based Decoder Processing Steps

Möglichkeiten:

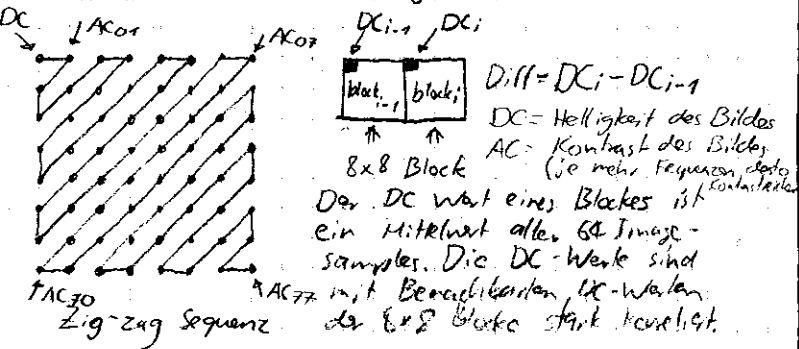
- Kompression von 1/10 bis 1/50 der Originalen Dateigröße ohne sichtbare Qualitätsbeeinträchtigung
- Komprimieren von Farb- und Graustufenbildern, wobei ein Farbbild in mehrere Graustufenbilder zerlegt wird und einzeln komprimiert.

8x8 FDCT und IDCT:

- Es werden immer Blöcke von 8x8 Pixel gemeinsam durch eine diskrete Kosinus Transformation in die Frequenzebene transformiert.
- der FDCT und IDCT Algorithmus wird im JPEG Standard nicht vorgeschrieben.
- JPEG Bilder können 8 Bit oder 12 Bit pro Sample enthalten. Für jede Variante muss der DCT-Algorithmus ausgelegt sein.

Quantizer:

- Nach der FDCT wird jeder der 64 DCT Koeffizienten gleichförmig quantisiert mit Hilfe von 64-Element Quantisierungstabellen.
- im Quantisierer entsteht der verlustbehaftete Teil von JPEG

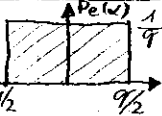


Bei AC₆₃ sind die tiefen Frequenzen des Bildes und bei AC₇₇ die hohen, welche entbehrlicher sind, (Kontrast) \Rightarrow beim verlustreichen (Quantisieren) wird der verlustbehaftete Teil von JPEG durchgeführt.

Entropy Encoder:

- JPEG arbeitet mit Huffmanraum oder Arithmetischem Coding. Arithmetisches Coding ist dabei 5-10% effektiver, aber im Gegenzug massiv komplexer.

Quantisierungsfehler



Formeln gelten bei guter Aussteuerung:

$$P_e = \frac{q^2}{12} ; d_e = \frac{q}{\sqrt{12}} ; q = \frac{\Delta p}{2B}$$

$$P_e = \frac{P_s \cdot \Delta p^2}{12 \cdot 2^{2B}} ; N = 2^B \quad \text{Gleichverteilung: } K=0$$

$$SNR_{im} = \frac{P_s}{P_e} = \frac{P_s \cdot 12}{\Delta p^2} \cdot 2^{2B} \quad \text{Sinustönung: } K=+1,67dB$$

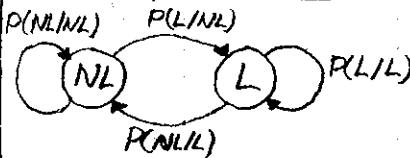
$$SNR_{dB} = 10 \cdot \log\left(\frac{P_s}{P_e}\right) = K + 6,02 \cdot B \quad \text{Normalverteilung: } K=-8,5dB$$

- Leistungen: $P_s = \frac{A^2}{2}$
- Rect: $P_s = \frac{A^2}{3}$

3 = Wortlänge (Bit/Wahlwert)
 Quantisierungsfehlerleistung: Bei schlechter Aussteuerung muss je nach Fall individuell angeschaut werden.
 = Quantisierungsfehlerleistung, P_s = Leistung des Signals

Video over IP

Paketverlustmodell:



NL = not Lost
 L = Lost
 P(L/NL) = Wahrscheinlichkeit für Verlust wenn vorher kein Verlust bestand

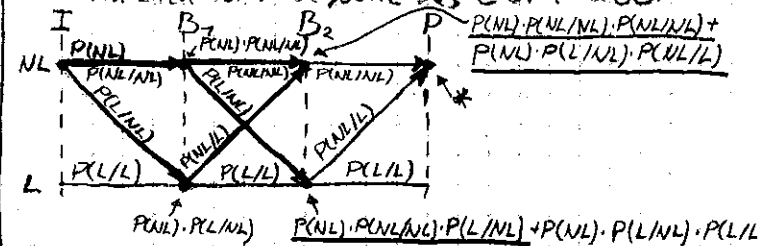
Modelbedingungen:

$$\begin{aligned} \Rightarrow P(L) + P(NL) &= 1 \\ P(NL/NL) + P(L/NL) &= 1 \\ P(L/L) + P(NL/L) &= 1 \end{aligned}$$

Fehlerfortpflanzung:

Gesamte Theorieintalt über MPEG (I, P und B-Frame auf Blatt 3 (Video Compression).

bsp: Wahrscheinlichkeit das Information in P-Frame nützlich ist? Sequenz des GOP: IBBP

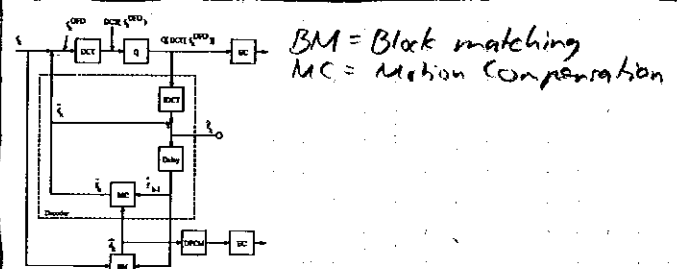


$$P(\text{P-Frame nützlich}) = P(NL) \cdot P(NL/NL) \cdot P(NL/NL) \cdot P(NL/NL) + P(NL) \cdot P(L/NL) \cdot P(L/L) \cdot P(L/L)$$

bsp: Wahrscheinlichkeit das Informationen in B-Frame nützlich sind? Gleiche Voraussetzung wie oben.

$$\begin{aligned} P(B_1 \text{ nützlich}) &= P(NL) \cdot P(NL/NL)^3 + P(NL) \cdot P(L/NL) \cdot P(NL/L) \cdot P(NL/NL) \\ P(B_2 \text{ nützlich}) &= P(NL) \cdot P(NL/NL)^3 + P(NL) \cdot P(L/NL) \cdot P(NL/L) \cdot P(NL/NL) \\ B\text{-Frame hängt von I- und P-Frame ab, von Zukunft und Vergangenheit.} \end{aligned}$$

Motion compensated DCT (wie in MPEG I und II)



Basic coding structure of H.264/AVC

